

การกระจายของค่าความดันสูญญากาศในวงแหวนกักเก็บของเครื่องกำเนิดแสงสยาม

วิวัฒน์ วงศ์ก่อเกื้อ^{1*} และ ประยูร ส่งสิริฤทธิ์^{2,3}

Wongkokua, W.^{1,*} and Songsiririthigul, P.^{2,3} (2002). Distribution of Vacuum Pressure in the Storage Ring of the Siam Photon Source. *Suranaree J. Sci. Technol.* 9:205-211.

Abstract

This report explains the vacuum system of the electron storage ring of the Siam Photon Source, and describes the theoretical method to calculate the base vacuum pressure in the storage ring. The theoretical vacuum pressures in the ring obtained from the calculations are in the range of 10^{-11} to 10^{-10} Torr. The results from the calculations are found to be in good agreement with the measured values.

บทคัดย่อ

รายงานนี้อธิบายถึงระบบสูญญากาศของวงแหวนกักเก็บอิเล็กตรอนของเครื่องกำเนิดแสงสยาม และอธิบายวิธีทางทฤษฎีที่ใช้คำนวณความดันสูญญากาศในวงแหวนกักเก็บในขณะที่ไม่มีการกักเก็บอิเล็กตรอน ความดันสูญญากาศในวงแหวนกักเก็บที่คำนวณได้ตามทฤษฎีอยู่ในช่วง 10^{-11} ถึง 10^{-10} ทอร์ ผลการคำนวณสอดคล้องกับค่าที่ได้จากการวัดเป็นอย่างดี

บทนำ

สูญญากาศคือความสำคัญเป็นอย่างมากต่อวงแหวนกักเก็บอิเล็กตรอน สูญญากาศในวงแหวนกักเก็บอิเล็กตรอนทำให้อิเล็กตรอนที่จะเกิดการชนระหว่างอิเล็กตรอนกับโมเลกุลของอากาศลดลง การที่อิเล็กตรอนชนกับโมเลกุลทำให้อิเล็กตรอนเปลี่ยนเส้นทางการเคลื่อนที่ซึ่งจะส่งผลให้กระแสของอิเล็กตรอนในวงแหวน

กักเก็บมีปริมาณลดลง นอกเหนือจากนั้นการชนดังกล่าวอาจจะก่อให้เกิดปัจมุหารีบวนรังสีที่เกิดขึ้นเมื่อจากปฏิกิริยาระหว่างอิเล็กตรอนกับโมเลกุลของอากาศหรือระหว่างอิเล็กตรอนกับอะตอมของธาตุที่เป็นองค์ประกอบของห้องห้องสูญญากาศ (vacuum ducts หรือ vacuum chambers) ระบบสูญญากาศจึง

* นักศึกษาปริญญาเอก สาขาวิชาพลิกส์ สำนักวิชาวิทยาศาสตร์ มหาวิทยาลัยเทคโนโลยีสุรนารี อ.เมือง จ.นครราชสีมา 30000.

¹ Ph.D., อาจารย์สาขาวิชาพลิกส์ สำนักวิชาวิทยาศาสตร์ มหาวิทยาลัยเทคโนโลยีสุรนารี.

² ศูนย์ปฏิบัติการวิจัยเพื่อพัฒนาและส่งเสริมโครงการอนแท่งชาติ กระทรวงวิทยาศาสตร์ เทคโนโลยีและสื่อสารมวลชน.

³ ผู้เขียนที่ให้การติดต่อ

206 การกระจายของค่าความดันสูญญากาศในห้องแมวนักก๊อกเครื่องกำนันเดนแสงสยาม

ในระบบหลักที่สำคัญของห้องแมวนักก๊อกอิเล็กตรอน

รายงานนี้อธิบายส่วนประกอบหลักของห้องแมวนักก๊อกอิเล็กตรอนของเครื่องกำเนิดแสงสยาม(ประชุม สังเสริมที่ศูนย์ฯ 2542; สำเนา มาติเสนา, 2539) และแสดงถึงวิธีการคำนวณหาค่าความดันสูญญากาศ ณ ตำแหน่งต่าง ๆ ของห้องแมวนักก๊อก เก็บคลังกํารา แล้วขึ้นการแสดงการเบรินเทียนผลที่ได้จากการคำนวณและค่าความดันของสูญญากาศที่สร้างได้โดยที่งานด้านสูญญากาศของฝ่ายเครื่องเริงอนุภาค ห้องปฏิบัติการแสงสยาม

ทฤษฎี

ความดันในระบบสูญญากาศ (P) เกิดจากการที่ไม่เกิดขึ้นของกระบวนการเคลื่อนที่และการชนกับผนังภาชนะ ปริมาณความดันสามารถหาได้จากคำนวณในวิชาคณิตศาสตร์ คือแรงที่เกิดจากการเปลี่ยนแปลงโน้มน้าม เมื่อจากการชนของโมเลกุลต่อหนึ่งหน่วยพื้นที่ที่ตั้งฉากกับพื้นที่ของแรงดึงดูด ในการคำนวณสูญญากาศได้ เราสามารถคำนวณหาค่าความดันได้เมื่อเราทราบปริมาณของอากาศที่เกิดขึ้นต่อหนึ่งหน่วยเวลา ณ ที่ค่าความดันสูญญากาศนั้น (Q) และอัตราเร็วของการปั๊ม (pumping speed) เพื่อเอาอากาศออกจากระบบ (S) ตามความสัมพันธ์

$$P = \frac{Q}{S} \quad (1)$$

โดยที่ Q จะคิดตั้งขึ้นกับห้องสูญญากาศ โดยมีห้องสูญญากาศเพื่อมอญต์คงกลาง จึงทำให้อัตราเร็วซังผลของปั๊ม (effective pumping speed), S_e , มีค่าลดลง สำหรับอัตราเร็วซังผลของปั๊มสูญญากาศในห้องสูญญากาศสามารถหาได้จากการคำนวณสำพันธ์ $1/S_e = 1/S + 1/C$ เมื่อ C คือค่าบวกของสภาพนำอากาศของห้องสูญญากาศ (conductance) ที่เข้มต่อระหว่างปั๊มสูญญากาศกับห้องสูญญากาศ ค่า C ของห้องสูญญากาศที่มีพื้นที่หน้าตัดเป็นวงกลมหาได้จากสมการ

$$C = 3.81 \sqrt{\frac{T}{M}} \frac{d^3}{l} \quad (2)$$

โดยที่ T คืออุณหภูมิในหน่วยเคลวิน (K), M คือมวลโมลาร์ของอากาศ m คือเส้นผ่านศูนย์กลางภายในของห้องสูญญากาศ และ l คือความยาวของห้องสูญญากาศ (Berman, 1992)

ในการพิจารณาการค่าห้องสูญญากาศใช้เมื่อระหว่างห้องสูญญากาศดังแสดงในรูปที่ 1 ค่าความดันของสูญญากาศ ณ ตำแหน่งต่าง ๆ ของห้องสูญญากาศมีค่าที่แตกต่างกัน เราสามารถคำนวณหาการกระจายของค่าความดันโดยการประมาณให้ค่าความดันทุกตำแหน่งในแต่ละห้องสูญญากาศมีค่าเท่ากันและโดยการพิจารณาว่าการไหลของอากาศในห้องสูญญากาศมีความต่อเนื่อง ในกรณีที่พิจารณาระบบสูญญากาศที่ไม่เกิดขึ้นจากการ outgassing ของวัสดุที่นำมาใช้ทำห้องสูญญากาศและห้องสูญญากาศเพียงอย่างเดียว (Hablanian, 1997) ค่าความดันที่คำนวณได้ในห้องสูญญากาศสามารถคำนวณได้ตามสมการ

$$P_x = q\pi D \left(\frac{-x^2}{2C_m x_m} + \frac{x}{c_m} \right) + P_i \quad (3)$$

โดยที่ D คือเส้นรอบวงของห้องสูญญากาศ และ c_m คือสภาพน้ำหนักของห้องสูญญากาศที่มีความกว้างเท่ากับ x_m ซึ่งเป็นตำแหน่งที่สมดุลการไหลของไม่เกิดขึ้น x_m ระหว่างห้องสูญญากาศที่มีความดันสูญญากาศ P_x และ P_i+I ส่วน q คือค่า outgassing rate ซึ่งมีค่าที่แตกต่างกันสำหรับวัสดุต่างชนิดกัน

เมื่อห้องสูญญากาศที่เรื่องด้วยระหว่างห้องสูญญากาศมีความขาวไม่เท่ากัน และแต่ละห้องสูญญากาศมีพื้นที่ผิวไม่เท่ากัน การคำนวณค่าความดันสูญญากาศในห้องสูญญากาศ สามารถทำได้โดยใช้สมการที่ (1) โดยที่ Q คือปริมาณของอากาศภายในห้องสูญญากาศรวมกับปริมาณของอากาศภายในห้องสูญญากาศในห้องสูญญากาศในห้องสูญญากาศ i คือ P_i หากได้ค่าความสัมพันธ์แสดงโดยสมการที่ (4) ส่วนตัวแหน่งสมดุลการไหลของอากาศภายในห้องสูญญากาศ สามารถหาได้โดยใช้สมการที่ (3) ได้ผลลัพธ์สมการที่ (5)

$$P_i = \frac{q(A_i + \pi D x_{m_i} + \pi D(L_{i-1} - x_{m_{(i-1)}}))}{S_{e_i}} \quad (4)$$

$$\frac{q\pi D x_{m_i}}{2C_{m_{iR}}} + P_i = \frac{q\pi D(L_i - x_{m_i})}{2C_{m_{(i+1)L}}} + P_{i+1} \quad (5)$$

เมื่อ ; i เป็นตัวเลขเรียงเนื่องจากห้องสูญญากาศซึ่งต่อกันเป็นวง A คือพื้นที่ผิวภายในของห้องสูญญากาศ L คือความยาวของท่อสูญญากาศ และตัวห้อ R และ L ในสมการที่ (5) บ่งบอกถึงตำแหน่งของท่อว่าอยู่ด้านซ้ายและด้านขวาของห้องสูญญากาศตามลำดับที่ i ตามลำดับ เนื่องจากพื้นที่หน้าตัดของท่อสูญญากาศมีลักษณะประมาณเป็นวงรี เราสามารถประมาณหาค่าสภาพนำอากาศของท่อสูญญากาศได้จากสมการ

$$C_m = \frac{43.1}{x_m} \sqrt{\frac{T}{M}} \frac{a^2 b^2}{\sqrt{a^2 + b^2}} \quad (6)$$

เมื่อ a และ b คือความยาวแกนหลักและแกนรองของวงรีตามลำดับ (Berman, 1992)

ระบบสูญญากาศของวงแหวนกักเก็บ

อุปกรณ์และชิ้นส่วนหลักของระบบสูญญากาศของวงแหวนกักเก็บอิเล็กตรอนของเครื่องกำเนิดแสงสามได้แก่ 1) ท่อและห้องสูญญากาศ 2) ปั๊มสำหรับสร้างสูญญากาศ และ 3) vacuum pressure gauges โดยที่อุปกรณ์และชิ้นส่วนดังกล่าวได้ถูกออกแบบและคัดเลือกสำหรับการใช้งานกับสูญญากาศในระดับ ultra-high vacuum เพื่อที่ให้สามารถกักเก็บนิวเคลียร์ได้

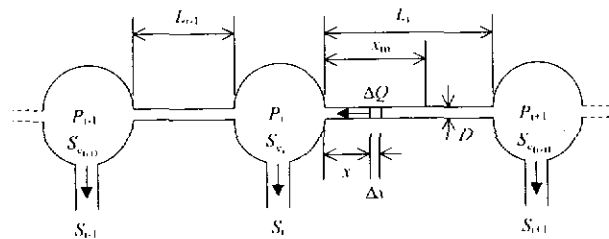


Figure 1. Schematic diagram of a vacuum system showing the parameters used in this work.

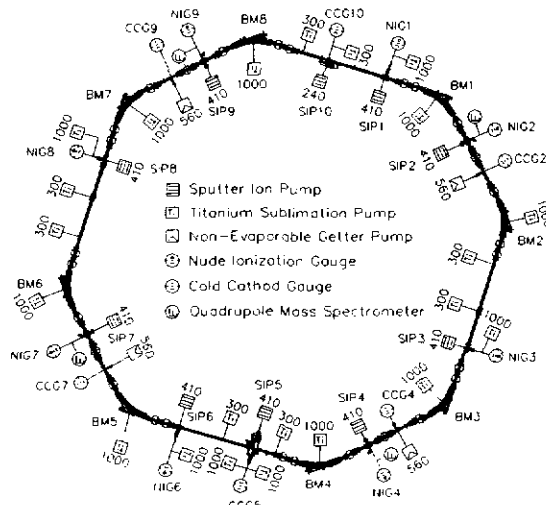


Figure 2. Schematic diagram showing the vacuum system of the storage ring of the Siam Photon Source. The number indicated near each symbol of the pump is the pumping speed in liters/s.

208 การกระจายของค่าความดันสุญญาการในวงแหวนกักเก็บของเครื่องกำเนิดแสงสยาม

time ที่บ่งเพียงพอสำหรับการทดลองที่ใช้แสงชิน-โครงคร่อน

ท่อและห้องสุญญาการของวงแหวนกักเก็บ อิเล็กตรอนของเครื่องกำเนิดแสงสยามอาจแบ่งออก เป็นสามส่วนหลัก ได้แก่ 1) ส่วนที่เป็นห้องสุญญาการบริเวณ bending magnet 2) ส่วนที่เป็นห้องสุญญาการในแนวตรง และ 3) ส่วนที่เป็นห้องสุญญาการของ RF acceleration cavity และของ Septum magnet โดยที่ห้องสามส่วนได้ถูกออกแบบให้ต่อเนื่องเข้าด้วยกันเป็นวงแหวนกักเก็บอิเล็กตรอนตามแบบที่แสดงในรูปที่ 2 (IHI, 1999)

ห้องสุญญาการบริเวณ bending magnet มีอยู่สองแบบ โดยมีแบบละ 8 ชั้น ห้องสุญญาการทั้งสองแบบทำจากสูมินีเนียมพัฒนา A5083-0 เพราะว่าอุณหภูมิเนื้อหกสมดังกล่าวมีคุณสมบัติที่ดีในการนำความร้อนและซึมมีค่า outgassing rate ที่ต่ำ รูปแบบของห้องสุญญาการทั้งสองแบบแสดงในรูปที่ 3 ข้อแตกต่างที่สำคัญของห้องสุญญาการทั้งสองคือทิศทางและตำแหน่งของห้องที่ปล่อยให้แสงชินโครงคร่อนเลี้ยวลดลงมาเพื่อนำไปใช้ประโยชน์ รูปที่ 3(a) เป็นห้องสุญญาการที่จะนำแสงชินโครงคร่อนผลิตจาก bending magnet มาใช้งาน ส่วนห้องสุญญาการที่แสดงในรูปที่ 3(b) ถูกออกแบบเพื่อให้แสงชินโครงคร่อนที่ผลิตจาก insertion devices ปล่อยออกมายังประโยชน์

ลักษณะที่เด่นของห้องสุญญาการที่อยู่ในบริเวณ bending magnet นี้คือการที่มีการติดตั้งแผ่น titanium ในห้องสุญญาการตลอดความยาวการเคลื่อนที่ของอิเล็กตรอนเพื่อให้เป็นขัว cathode และ anode ของ ion pump โดยที่ ion pump ตั้งกล่าวจะทำงานได้เฉพาะตอนที่มีการใช้งาน bending magnet โดยทั่วไปนิยมใช้ ion pump ตั้งกล่าวว่า Distributed Ion Pump (DIP) ความจำเป็นที่ต้องติดตั้ง ion pump ในลักษณะดังกล่าวเพื่อที่จะให้ค่าอัตราเร็วบั้งผลของการ pumping มีค่าที่สูงเพียงพอที่จะกำจัดไม่เลกูลของก๊าซที่ถูกกระตุ้นให้ปลดปล่อยของก๊าซที่สูญญากาศเนื่องจาก การที่แสงชินโครงคร่อนไปด้วยระบบคันนักของผนังภายในของห้องสุญญากาศทำให้เกิด

ความร้อนนี้ เพื่อหลีกเลี่ยงปัญหาที่เกิดขึ้นเมื่อมีการหล่อเย็นห้องสุญญาการบริเวณที่มีการติดตั้งในวงแหวนโครงคร่อนดังแสดงในรูปที่ 3

รูปที่ 4 แสดงตัวอย่างของห้องสุญญาการที่ติดตั้งในส่วนตรงของวงแหวนกักเก็บอิเล็กตรอน ซึ่งเป็นส่วนที่มีการติดตั้ง quadrupole magnets, sextupole magnets, steering magnets ตลอดจน insertion devices ชนิดต่าง ๆ ที่จะติดตั้งในอนาคต

นอกจากนี้ ไปจาก DIPs การรักษาสภาพสุญญาการในวงแหวนกักเก็บอาศัยปืนชนิดที่เรียกว่า Titanium Sublimation Pump (TSP), Non-Evaporated Getter Pump (NEG) และ Sputter Ion Pump (SIP) ในวงแหวนกักเก็บมีการใช้งาน SIP เป็นจำนวน 10 ชุด แต่ละชุดมีค่าอัตราเร็วของการปั๊มน้ำหนักในรูปที่ 2 การทำงาน SIP ดังกล่าวจะทำงานตลอดเวลา ส่วน NEG และ TSP จะถูกใช้งานเป็นช่วง ๆ โดยที่ความถี่ของการใช้งานขึ้นอยู่กับปริมาณก๊าซที่เกิดขึ้นในระบบสุญญาการ

ค่าความดันสุญญาการในระดับ UHV ของวงแหวนกักเก็บสามารถวัดได้จาก vacuum pressure gauges หรือวัดจาก quadrupole mass spectrometer (QMS) การวัดค่าความดันโดยอ้างอิง QMS จะทำให้เราทราบถึงสัดส่วนของก๊าซชนิดต่าง ๆ ที่มีอยู่ในระบบ สำหรับ gauge ที่ใช้ในระบบสุญญาการของวงแหวนกักเก็บของเครื่องกำเนิดแสงสยามมีอยู่สองชนิดคือ Cold Cathode Gauge (CCG) และ Nude Ionization Gauge (NIG)

ความดันสุญญาการ

รูปที่ 5 แสดงค่าความดันสุญญาการ ณ ตำแหน่งต่าง ๆ ในวงแหวนกักเก็บอิเล็กตรอนของเครื่องกำเนิดแสงสยาม และตำแหน่งของชั้นส่วนที่สำคัญของระบบสุญญาการของวงแหวนกักเก็บอิเล็กตรอน เช่น bending magnet, SIP, NEG และ vacuum pressure guage ค่าความดันสุญญาการที่แสดงในกราฟเป็นค่าความดันสุญญาการในช่วงที่ซึ้งไม่มีการกักเก็บอิเล็กตรอน ในวงแหวนกักเก็บจากการคำนวณ โดยอาศัยทฤษฎีที่ได้อธิบายในตอนที่ผ่านมาเปรียบเทียบกับค่าความ

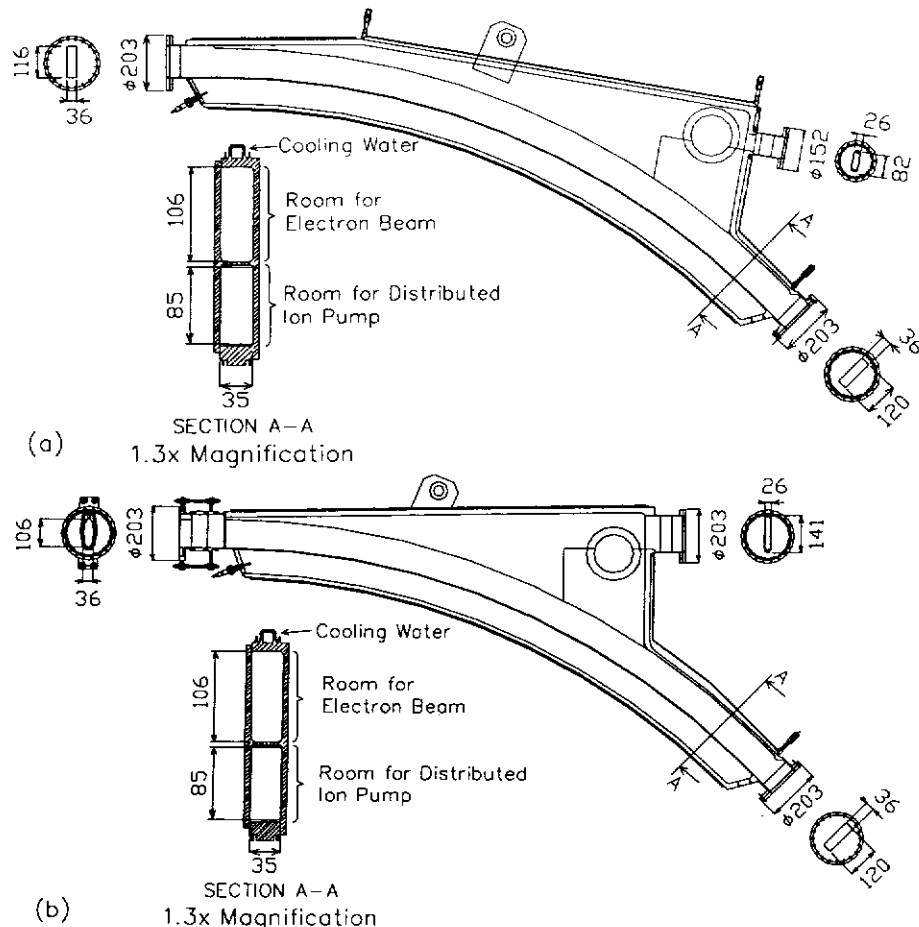


Figure 3. Vacuum chambers installed at (a) the bending magnets BM2, BM4, BM6 and BM8 and at (b) the bending magnets BM1, BM3, BM5 and BM7 of the storage ring of the Siam Photon Source.

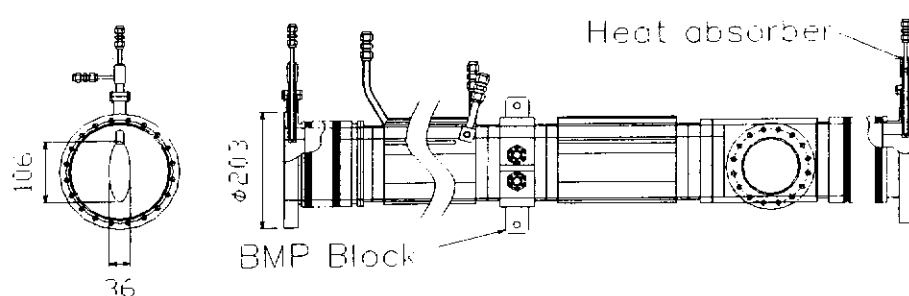


Figure 4. An example of the vacuum chambers installed in the straight sections of the storage ring of the Siam Photon Source.

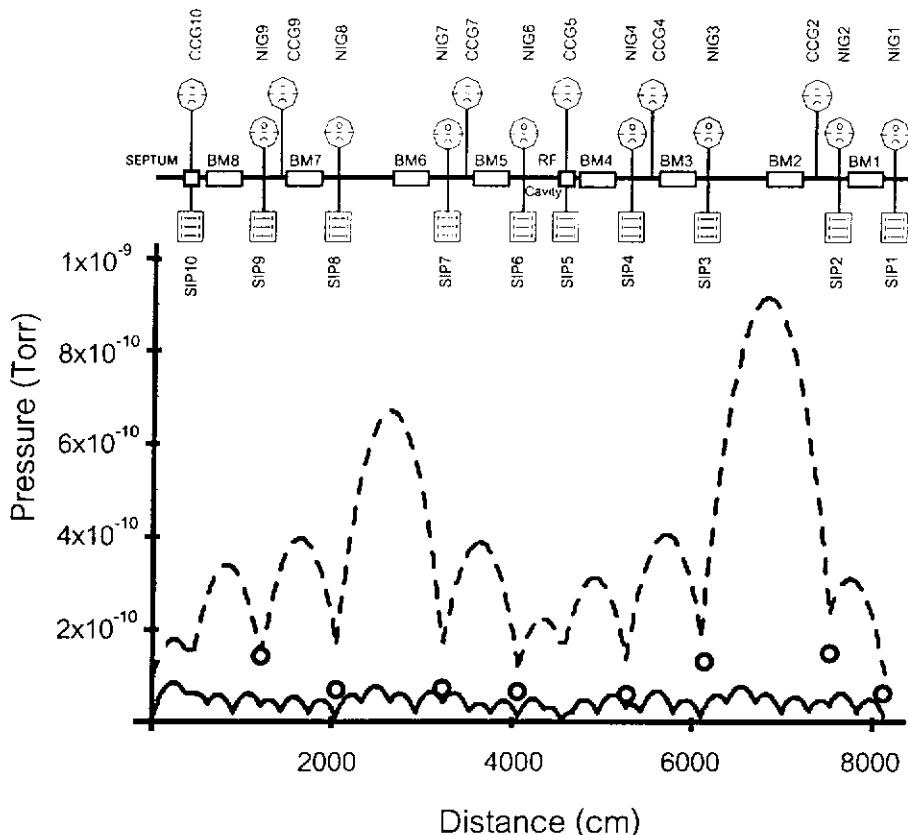


Figure 5. Vacuum pressure obtained from the calculations when only SIPs are operated (dashed) and when SIPs, NEG and TSP are operate (solid line). The values of the measured vacuum pressure are indicated by the open circles. The positions of different pumps and gauges are show on top of the graph.

คันสูญญากาศที่สร้างได้จริงโดยที่มีงานของฝ่ายเครื่องร่างอนุภาคของห้องปฏิบัติการแสงสยาม

ข้อมูลที่สำคัญที่ใช้ในการคำนวณได้แก่ ค่า outgassing rate ของโลหะที่ใช้ทำชิ้นส่วนสูญญากาศ คือ อัตราเรียบเรียงมีค่าเท่ากับ $1 \times 10^{-12} \text{ torr liters s}^{-1} \text{ cm}^{-2}$ (IHI, 1999) เพื่อไม่ให้เกิดความซับซ้อนในการคำนวณ ได้มีการประมาณค่าสภาพความนิ่งท่อสูญญากาศโดยพิจารณาว่าภาชนะดูดว่างของท่อสูญญากาศทั้งหมด รวมทั้งห้องสูญญากาศในส่วน bending magnet มีลักษณะเป็นรูปวงรี โดยมีค่าความยาวแทนหลักและค่าความยาวแทนรองของวงรีเท่ากับ $a=10.6 \text{ cm}$ และ

$b=3.6 \text{ cm}$ ตามลำดับ การประมาณดังกล่าวทำให้พื้นที่ผิวนอกห้องสูญญากาศในบริเวณ bending magnet มีค่าน้อยกว่าความเป็นจริงประมาณ 10 เท่า เช่นเดียวกับค่าความถี่ในการพิจารณาปริมาณกําชีวิต ออกมากจากห้องสูญญากาศดังกล่าวได้มีการทดสอบ ปริมาณกําชีวิตที่เกิดขึ้นบริเวณพื้นที่ที่ขาดหายไป ส่วนค่าอุณหภูมิที่ใช้ในการคำนวณคือ 298 K ซึ่งเป็นค่าโดยประมาณของอุณหภูมิห้อง และค่ามวลโมเลกุลของอากาศที่ใช้คือ 28.98 g/mol (Berman, 1992)

ค่าความดันสูญญากาศที่ได้จากการคำนวณ มีการพิจารณาอยู่สองกรณี 1) กรณีที่มีการทำงาน

ของ SIP เพียงอย่างเดียวในการสร้างสุญญากาศในวงแหวนกักเก็บอิเล็กตรอนซึ่งค่าที่ได้จากการคำนวณในกรณีนี้แสดงเป็นกราฟเส้นประ 2) กรณีที่มีการของปืนหั่นสามชนิดคือ SIP, NEG และ TSP ค่าความดันสุญญากาศและความเป็นกราฟเส้นทึบ ส่วนค่าที่วัดได้โดยใช้ vacuum pressure guage ชนิด NIG แสดงเป็นรูปเครื่องหมายวงกลม

ค่าความดันของสุญญากาศที่คำนวณได้ทั้งสองกรณีของคล้องกับความเป็นจริงที่ว่าค่าความดันสุญญากาศที่คำนวณได้มีค่าต่ำสุดที่คำนวณของห้องสุญญากาศหรือห้องสุญญากาศที่ซึ่งมีต่อ กับปืนหั่นสุญญากาศ และจะมีค่าสูงสุดที่คำนวณของสมดุลการไหลของไมเลกูลของอากาศ เมื่อพิจารณาในกรณีที่มีการทำงานเฉพาะ SIP เพียงอย่างเดียว พบว่าค่าความดันสุญญากาศในวงแหวนกักเก็บ ณ ตำแหน่งที่มี NIG มีค่าอยู่ในช่วงของ 10^{-10} Torr เมื่อเปรียบเทียบกับค่าที่วัดได้จริง ณ ตำแหน่งที่มีการวัดพบว่าค่าที่คำนวณได้มีค่าสูงกว่าค่าที่วัดได้จริงเพียงเล็กน้อย ผลการคำนวณสอดคล้องกับความเป็นจริงเนื่องจากว่าสุญญากาศที่สร้างได้จริงเกิดจากการทำงานทั้งของ SIP ที่ทำงานลดความเร็วและของ TSP ที่ทำงานเป็นช่วงๆ แต่มีมีการพิจารณาว่ามีการทำงานเฉพาะของ SIP เพียงอย่างเดียวทำให้ค่าอัตราเร็วของการปืนมีค่าน้อยกว่าความเป็นจริง จึงส่งผลให้ค่าที่คำนวณได้มีค่าสูงกว่าค่าที่วัดได้จริง

เมื่อมีการพิจารณาการทำงานของปืนหั่นสามชนิดคือ SIP, NEG และ TSP ซึ่งเป็นการทำนายค่าความดันของสุญญากาศต่ำสุดที่สามารถที่จะสร้างได้ ณ ตำแหน่งต่างๆ ของวงแหวนกักเก็บอิเล็กตรอน จากผลการคำนวณพบว่าค่าความดันสุญญากาศมีค่าอยู่ในช่วงของ 10^{-11} Torr เมื่อเปรียบเทียบกับค่าที่วัดได้จริง ณ ตำแหน่งที่มีการวัดพบว่าค่าที่คำนวณได้มีค่าต่ำกว่าค่าที่วัดได้จริงเพียงเล็กน้อย ดังนั้นเราอาจจะสามารถประมาณได้ว่าค่าที่คำนวณได้ดังกล่าว เป็นค่าความดันของสุญญากาศต่ำสุดที่สามารถที่จะสร้างได้ ณ ตำแหน่งต่างๆ ของวงแหวนกักเก็บ อิเล็กตรอน

จากการศึกษาสรุปได้ว่าความดันสุญญากาศ

ของวงแหวนกักเก็บอิเล็กตรอนของเครื่องกำเนิดแสงสbanan ที่ได้จากการคำนวณมีค่าสอดคล้องกับค่าที่วัดได้จริง ซึ่งอยู่ในช่วง 10^{-11} - 10^{-10} Torr ความคลาดเคลื่อนเล็กน้อยของค่าที่คำนวณได้เมื่อเปรียบเทียบกับค่าที่วัดได้จริงอาจเกิดจากปัจจัยหลักได้แก่ ความคาดเคลื่อนของการติดค่า outgassing และความคลาดเคลื่อนของค่าความเร็วของการปืน

คำขออนุญาต

ผู้จัดข้อมูลคุณ ดร. สาระ รุจิวรรณ และทีมงาน ดำเนินสุญญากาศของฝ่ายเครื่องเร่งอนุภาค สำหรับข้อมูลเกี่ยวกับระบบสุญญากาศของวงแหวนกักเก็บ อิเล็กตรอนของเครื่องกำเนิดแสงสbanan

เอกสารอ้างอิง

- ประชุม ส่งเสริมทุนวิจัย และคณ. (2542). เครื่องกำเนิดแสงสbanan. วารสารเทคโนโลยีสุรนารี. 6:22-31.
- สำนักมาตรฐาน. (2539). เครื่องกำเนิดแสงชั้นโทรศัพท์. สำนักมาตรฐาน. วารสารเทคโนโลยีสุรนารี. 3:57-61
- Berman, A. (1992). Vacuum Engineering Calculations, Formulas, and Solved Exercises. Academic Press, Inc., California.
- Hablanian, M.H. (1990). High-Vacuum Technology A Practical Guide. Marcel Dekker, Inc., New York.
- IHI (1999). Technical Specification of Vacuum Components for Siam Photon Storage Ring. Ishikawajima-Harima Heavy Industry Co. Ltd., Japan.